

مدل‌سازی سرطان پستان متابستازی در موش BALB/c با استفاده از رده سلولی موشی و نشاندار نمودن پایدار رده سلولی با وکتور لنگی ویروسی

سمیرا محمدی‌یگانه: دانشجوی دکتری تخصصی بیوتکنولوژی پزشکی، بخش تحقیقات بیوتکنولوژی، انتستیتوپاستور ایران، تهران، ایران
مهدی پریان: پژوهشگر بخش زنگیک مولکولی و مهندسی زنگیک، مرکز تحقیقات و فناوری بنیاده، تهران، ایران
کیهان آزادمنش: استادیار بیولوژی، بخش ویروس‌شناسی، انتستیتوپاستور ایران، تهران، ایران
احسان عارفیان: پژوهشگر بخش زنگیک مولکولی و مهندسی زنگیک، مرکز تحقیقات و فناوری بنیاده، تهران، ایران
فرزانه بتول رحیمی: استاد پاتولوژی، آزمایشگاه بیمارستان دی، تهران، ایران
مرتضی کریمی پور: استادیار بیولوژی، بخش پزشکی مولکولی، انتستیتوپاستور ایران، تهران، ایران
رضا مهدیان: استادیار بیولوژی، بخش پزشکی مولکولی انتستیتوپاستور ایران، تهران، ایران
سیامک میراب سمیعی: استادیار بیولوژی آزمایشگاه مرجع سلامت، وزارت بهداشت، درمان و آموزش پزشکی، تهران، ایران
مسعود سلیمانی: استادیار هماتولوژی، دانشگاه تربیت مدرس، تهران، ایران

چکیده

مقدمه: متابستاز، عامل اصلی مرگ‌های با منشأ سرطان پستان است که علیرغم پیشرفت‌های علمی اخیر، تغییرات زنگیکی و مکانیسم‌های مولکولی درگیر در متابستاز سرطان پستان هنوز بهطور کامل شناخته نشده‌اند. مدل‌های حیوانی مناسبی نیز برای بررسی مسیرهای سلولی و زن‌هایی که به‌طور اختصاصی در جریان متابستاز سرطان نقش دارند، وجود ندارند. در مطالعه اخیر، مدل متابستازی سرطان پستان موشی با استفاده از رده سلولی 4T1 ایجاد شد. همچنین این رده سلولی با ساخت و وارد نمودن وکتور لنگی ویروسی، نشاندار و به موش تزریق شد که می‌تواند در تحقیقات آینده به کار برده شود.

روش بررسی: رده سلولی (CRL-2539) 4T1 از بانک سلولی گرفته شد. تست تشکیل کلونی در آگار برای تأیید مهاجم بودن سلول‌ها انجام شد. سلول‌ها پس از یک شبانه‌روز کشت اولیه در محیط DMEM حاوی ۱۰ درصد سرم جنین گوساله، تریپسینه و شمارش شدند. دو گروه موش به عنوان شاهد و مورد انتخاب شدند. به ۳ موش گروه مورد تزریق درون‌رگی و به ۳ موش دیگر تزریق در ناحیه نزدیک پستان (fadpad#8) انجام شد و به گروه شاهد فقط آب مقطر استریل تزریق گردید. موش‌ها به صورت روزانه از نظر سلامت جسمانی مورد بررسی قرار گرفتند تا اینکه در روز ۲۸ قربانی شدند و بافت‌های مورد نظر برای تهیه لام و بررسی پاتولوژی فرستاده شدند. سلول‌های این رده با استفاده از لنگی ویروسی حاوی پلاسمید PL-RGFP به صورت پایدار نشاندار شدند و دوباره به موش BALB/c ماده تزریق شدند. بررسی مدل زنده با استفاده از *invivo imaging* انجام شد.

یافته‌ها: از میان دو گروه مورد بررسی، علایم عصبی و عضلانی- استخوانی نشان‌دهنده متابستاز سلول‌های سرطانی در موش‌هایی که تزریق درون‌رگی شده بودند، زودتر مشاهده شد و بررسی‌های پاتولوژی نیز درگیری وسیع بافت‌ها توسط سلول‌های سرطانی را تأیید کرد. نتیجه‌گیری: رده سلولی 4T1 می‌تواند مدل موشی مرحله متابستازی سرطان پستان را به خوبی بازسازی نماید. رده سلولی نشاندار شده پایدار با وکتور لنگی ویروسی می‌تواند برای ردیابی سلول‌های سرطانی و کارهای تحقیقاتی آینده به خوبی به کار گرفته شود.

مقدمه

می‌شوند، بهطور گسترده برای مطالعه رشد و متاستاز تومور در موش به کار رفته است^[۶]. اگرچه ایجاد تومور اولیه با این شرایط امکان‌پذیر است، شبیه‌سازی متاستاز تومور بسیار مشکل‌تر می‌باشد.

سلول‌های توموری انسان به‌طور ضعیفی در موش متاستاز می‌یابند و هنگامی که متاستاز ایجاد شد، اغلب خصوصیات غیرمنتظره به‌وقوع می‌پیوندد. در مقابل، مدل‌هایی که با استفاده از سلول‌های توموری موشی باشند، مؤثرتر متاستاز می‌یابند و خصوصیاتی مشابه آنچه در بیماران سلطانی دیده می‌شود تظاهر می‌یابد^[۷]. این نوع مدل‌ها امکان آغاز تومور در حیوان با سیستم ایمنی طبیعی را فراهم می‌نمایند. از آنجایی که سیستم ایمنی نقش مهمی در ایجاد و پیشرفت سلطان ایفا می‌نماید، مدل‌هایی که بتوان در موش دارای ایمنی کامل به کار برد برای آنالیز پیشرفت و متاستاز سلطان و ارزیابی داروها ضروری خواهد بود. تا به حال مدل‌های موشی کمی وجود داشته‌اند که بتوانند متاستاز به مغز استخوان را نشان دهند^[۸].

رده سلولی توموری موش (4T1) یکی از چند رده سلولی سلطان پستان است که توانایی متاستاز مؤثر به نواحی را که در سلطان پستان انسانی آلوده می‌شوند، دارد^[۹]. 4T1 که از تومور خودبخود ایجاد شده در موش BALB/c مشتق شده است، توانایی متاستاز به چندین ارگان را که طی سلطان پستان درگیر می‌شوند مانند ریه، کبد، مغز و استخوان دارا می‌باشد. این سلول‌ها برای ایجاد چندین ایمونوتراپی به کار رفته‌اند^{[۱۰] و [۱۱]}.

در مطالعه اخیر، هدف بررسی امکان به کارگیری رده سلولی 4T1 جهت ایجاد مدل موشی متاستاز سلطان پستان است که روندی مشابه ایجاد متاستاز در انسان داشته باشد یعنی، به اندام‌هایی تهاجم می‌یابد که در متاستاز سلطان پستان انسانی نیز دیده می‌شود. همچنین 4T1 برای تولید سلول‌های قابل رדיابی، سلول‌های به‌وسیله وکتور لنتی ویروسی حاوی فلورسانس نشاندار شدن. در مرحله بعد، تزریق سلول‌های نشاندارشده به موش BALB/c انجام شد تا حساسیت دستگاه *invivo imaging* برای رדיابی سلول‌های نشاندارشده بررسی گردد.

سلطان پستان شایع‌ترین سلطان تشخیص داده شده و دومین عامل مرگ‌ومیر ناشی از سلطان در میان خانم‌ها است که سالیانه ۱ میلیون مورد جدید از این بیماری تشخیص داده می‌شود. سن وقوع این بیماری در کشورهای توسعه‌یافته ۴۰-۵۰ سال می‌باشد درحالی که متاستانه سن شیوع آن در ایران در سن ۳۰-۴۰ سالگی است. میزان شیوع این بیماری در زنان آسیایی در مقایسه با آمریکا و اروپای غربی تا حدودی کمتر است. همچنین زنان ساکن کشورهای صنعتی در مقایسه با سایرین، ریسک ابتلای بالاتری دارند که البته کشور ژاپن در این میان یک استثناء به‌شمار می‌آید. آمار و شواهد، حاکی از افزایش مداوم شیوع سلطان پستان از اواسط دهه ۱۹۴۰ می‌باشد. به عنوان مثال در ایالات متحده آمریکا میزان شیوع آن از نسبت ۱ به ۱۳ در سال ۱۹۷۰ به ۱ به ۱۱ در سال ۱۹۸۰ و ۱ به ۸ در حال حاضر رسیده است^[۳].

متاستاز، علت اصلی مرگ در بیشتر بیماران مبتلا به سلطان پستان است. انتشار سلول‌های سلطانی در طی متاستاز از طریق خون، لنف و یا هردو صورت می‌گیرد. پیشرفت تومور از محل اولیه (متاستاز) شاخص بیشتر تومورهای بدخیم است. در افرادی که دچار متاستاز می‌شوند تومورهای ثانویه در ۹۰ درصد موارد در استخوان و ریه تشکیل می‌شوند. استخوان محل اولیه و اصلی متاستاز است که فراوانی متاستاز استخوانی بیش از ۸۰ درصد می‌باشد. با ایجاد متاستاز، بیماری به مرحله غیرقابل درمان وارد می‌شود. هنگامی که اساس مولکولی متاستاز تومور بررسی می‌شود، برروی تکثیر سلول‌های سلطانی و انتشار آن‌ها از تومور اولیه تمکن می‌گردد درحالی که وقایع مولکولی که در محل متاستاز اتفاق می‌افتد، عامل اصلی مرگ‌ومیر بیماران است^{[۴] و [۵]}. اگرچه اکثر رژیم‌هایی که برای این منظور به کار می‌روند موجب آرام کردن پیشرفت بیماری می‌شوند، هیچ‌یک موجب توقف یا بازگشت متاستاز نمی‌گردد. بنابراین درمان‌هایی که بتوانند طبیعت متاستازی بیماری را هدف بگیرند نتایج بهتری خواهند داشت. یکی از مهم‌ترین موانع مطالعه متاستاز، در دست نبودن مدل مناسبی است که بتواند به صورت قابل اطمینان پروسه متاستاز در شرایط *in vivo* را مشابه‌سازی نماید. مدل‌های گزنوگراف که در آن‌ها سلول‌های توموری انسان به موش سرکوب ایمنی تزریق

مورد تقسیم شدند. به ۳ موش در گروه مورد تزریق درون رگی سلول‌ها انجام شد و به ۳ موش دیگر تزریق در ناحیه نزدیک پستان (fadpad#8) صورت گرفت. به موش‌های گروه شاهد آب م قطر استریل تزریق شد.

هیستوپاتولوژی

موش‌ها روزانه از نظر خصوصیات ظاهری و رفتاری بررسی و در روز ۲۸ قربانی شدند. بافت‌های ریه، کبد، طحال، فمور و مغز جدا گردیدند. نمونه‌ها در فرمالین ۱۰ درصد فیکس و برای رنگ‌آمیزی H&E و بررسی به آزمایشگاه پاتولوژی فرستاده شدند.

ایجاد مدل 4T1-RGFP

رده سلولی 4T1 با استفاده از وکتور PL-RGFP نشاندار LentiORFTM pLEX-JRed-TurboGFP Vector (Open Biosystems, Catalog number: OHS4736) شد. وکتور مورد استفاده در این مطالعه دارای مقاومت آنتی‌بیوتیکی پورومایسین برای انتخاب در سلول‌های یوکاریوتی است. از رده سلولی HEK293T برای ترانسفکت اولیه و تولید لنتی‌ویروس حاوی PL-RGFP استفاده شد. پس از ترانسفکت سلول‌ها با وکتور مورد نظر با روش فسفات کلسیم [۱۲]، جمع آوری ویروس در ۴۸-۷۲ ساعت انجام شد.

پس از سانتریفیوز اولیه، جهت حذف دبری‌های سلولی، اولتراسانتریفیوز برای تغليظ ویروسی انجام شد. ویروس تغليظ شده با MOI مناسب به همراه پلی بن بر روی سلول‌های 4T1 که تراکم حدود ۷۰ درصد در فلاسک ۲۵ سانتی‌متر داشتند، کشت داده شدند. پس از ۲۴ ساعت محیط رویی سلول‌های چسبیده تعویض شد و از روز سوم تیمار با پورومایسین به میزان ۵ میکروگرم بر میلی‌لیتر آنتی‌بیوتیک موجود بر روی وکتور جهت انتخاب سلول‌های حاوی وکتور بود (انجام شد).

پس از ۷ روز تیمار آنتی‌بیوتیکی، بیان RGFP در سلول‌ها حدود ۱۰۰ درصد بود که این سلول‌ها با غلظت مناسب در ازت مایع فریز شدند. تزریق رده سلولی 4T1 حاوی RGFP به موش‌های BALB/c سلول‌های 4T1-RGFP با غلظت‌های 1×10^6 و 5×10^6 در بافر PBS تهیه شد. این سلول‌ها به دو گروه موش BALB/c ماده به صورت درون رگی و یا در ناحیه fadpad تزریق شدند. به گروه سوم آب م قطر استریل تزریق شد. در دوره‌های زمانی ۷ روز یکبار تا روز ۲۸

روش بررسی

کشت سلولی

رده سلولی 4T1 از بانک سلولی انسستیتو پاستور ایران گرفته شد. سلول‌ها در محیط high glucose DMEM حاوی ۱۰ درصد سرم جنین گاو، ۵ درصد اسیدهای آمینه غیرضروری و آنتی‌بیوتیک‌های پنی‌سیلین و استرپتومایسین در انکوباتور ۳۷ درجه سانتی‌گراد حاوی 5 CO_2 ۵ درصد کشت شدند. تمام بررسی‌ها بر روی رده سلولی تازه از ازت مایع خارج شده انجام شد.

تست تشکیل کلونی در آکار

برای بررسی مهاجم بودن سلول‌ها در محیط کشت سلولی، Colony Forming Assay منظور آگارز ۲ درصد و ۷٪ درصد استریل تهیه شد و تا هنگام کار در بن ماری ۴۲ درجه سانتی‌گراد نگهداری شد. سلول‌هایی که در محیط DMEM حاوی ۱۰ درصد سرم جنین گوساله کشت شده بودند، با PBS-EDTA شسته شدند. سپس سلول‌ها تریپسینه و توسط لام نئوبار شمارش شدند. در پلیت ۶ خانه، برای هر خانه تعداد ۲۵۰۰ سلول و در لایه زیرین هر ول ۱ میلی‌لیتر محیط ۳X نیاز است. بنابراین ۳ میلی‌لیتر محیط DMEM با ۳ میلی‌لیتر آگارز ۲ درصد مخلوط گردید و در کف هر ول به میزان ۱ میلی‌لیتر ریخته شد. سلول‌ها به تعداد مشخص با آگارز ۷ درصد و محیط DMEM حاوی ۱۰ درصد سرم جنین گوساله مخلوط و به هر ول ۱ میلی‌لیتر اضافه گردید. پلیت در انکوباتور ۳۷ درجه سانتی‌گراد قرار داده شد. پس از ۸-۱۰ روز برای جلوگیری از خشک شدن محیط به هر ول ۱ میلی‌لیتر محیط DMEM اضافه گردید و در هفتۀ دوم هر ول از نظر تشکیل کلونی در زیر میکروسکوپ بررسی شد. از سلول‌های HEK293T به عنوان کنترل مثبت مهاجرت استفاده گردید.

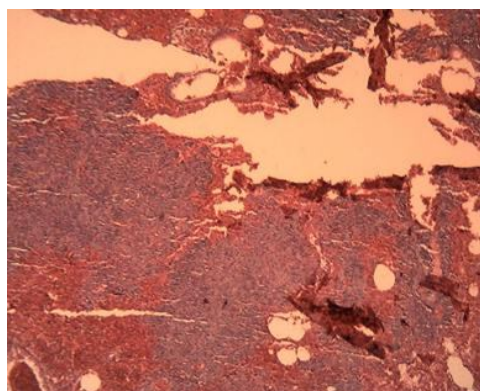
حیوانات

موس‌های BALB/c ماده با سن شش تا هفت هفته از حیوان خانه انسستیتو پاستور ایران (کرج) خریداری شدند.

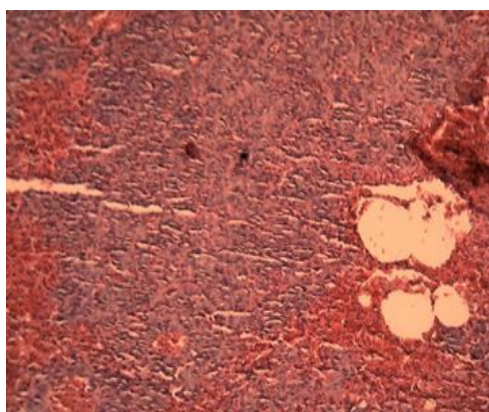
تزریق رده سلولی به موش

سلول‌های 4T1 کشت داده شده در محیط DMEM حاوی ۱۰ درصد سرم جنین گوساله پس از تریپسینه شدن و شستشو با بافر PBS شمارش شدند و رقت‌های 5×10^6 تا 1×10^6 از سلول‌ها تهیه گردید. موش‌ها به دو گروه شاهد و

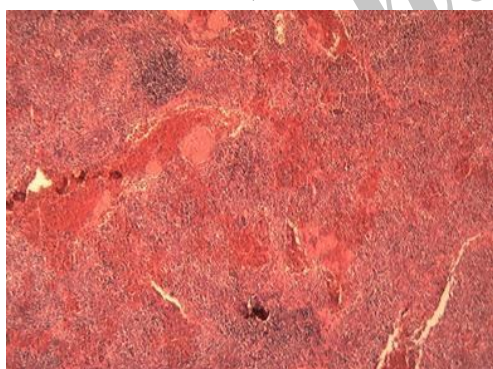
در طحال دیده نشد که نشانه فقدان وجود رسپتور سلول‌های 4T1 در بافت طحال بود(شکل ۲ ج).



(الف)



(ب)



(ج)

شکل ۲: متاستاز سلول‌های سرطانی به ریه(الف)، کبد(ب).
بزرگی طحال و پرخونی آن(ج)

در بافت استخوان، تیغه‌های استخوانی آب شده‌اند و توسط سلول‌های تومورال جایگزین گردیده‌اند(شکل ۳) که با روند رفتاری مشاهده شده در موش‌ها تطابق داشت.

موش‌ها با دستگاه invivo imaging(Kodak) بررسی گردیدند.

یافته‌ها

بررسی تشکیل کلونی در آگار Colony Forming Assay) سلول‌های 4T1 در مقایسه با کنترل، مثبت نشان داد، این سلول‌ها در شرایط درون آزمایشگاهی توانایی متاستاز بالایی دارند به‌طوری که کلونی‌های مربوط به رده سلولی 4T1 در روز ۱۲ مشاهده شدند.

در تزریق رده سلولی به موش BALB/c عوارض عصبی و عضلانی مربوط به متاستاز سلول‌های سرطانی به سیستم عصبی و استخوان‌ها از هفته سوم پس از تزریق مشاهده شد. موش‌ها بسیار نارام بودند و لرزش‌های عصبی در هنگام تحریک سیستم عصبی آن‌ها دیده می‌شد. جلوگیری از رشد طبیعی حیوان و لاغری مفرط در هفته‌های ۱-۳ دیده می‌شد.

بررسی پاتولوژی توده سرطانی نشان‌دهنده ارتراح شدید سلولی همراه با نکروز و التهاب گستردگی بود(شکل ۱).



شکل ۱: رنگ آمیزی H&E از یک تومور اولیه که نشان دهنده نایمیه مرکزی نکروز است که لوکوسیتها و سلول‌های نوپلاستیک در اطراف آن دیده می‌شوند. سلول‌های نوپلاستیک تمایز نیافته هستند و با وجود هسته‌های هایپرکروماتیک و مقدار کم سیتوپلاسم مشخص می‌باشند.

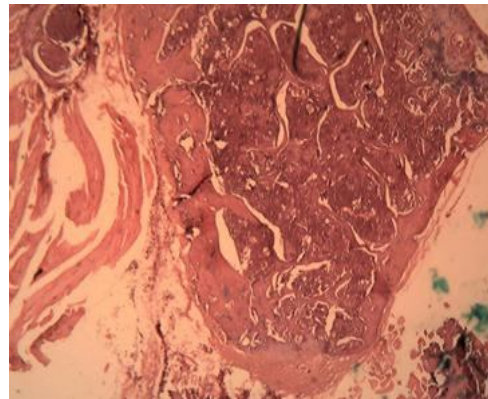
در مشاهده‌های ماکروسکوپی، بزرگی بیش از حد بافت‌های ریه، کبد، طحال همراه هماتوپوئز در کبد و بخصوص در طحال به‌وضوح مشخص بود. درگیری بافت ریه و کبد به‌وسیله متاستاز سلول‌های سرطانی تأیید گردید به‌طوری که سلول‌های متاستاتیک به صورت دسته‌های کوچک در بین سلول‌های کبدی مشاهده می‌شوند (شکل ۲ الف و ب)، در حالی که چنین وضعیتی

انسان به موش (رشد آهسته، متاستاز نامناسب و غیره) برطرف می‌شود [۹].

از مزایای دیگر استفاده از این رده این است که متاستاز آن به ریه، کبد، استخوان و سایر ارگان‌ها کارآمد و تکرارپذیر است. پروفایل بیان ژنی 4T1 و رده‌های سلولی مشتق از آن در دسترس می‌باشد که بررسی اساس ژنتیکی متاستاز به ریه، کبد، مغز و استخوان را فراهم می‌نماید [۱۶]. در تزریق سلول‌های سرطانی به موش BALB/c وجود سیستم ایمنی کامل بررسی اثر سیستم ایمنی در رشد و متاستاز تومور را امکان‌پذیر می‌نماید. از کاربردهای دیگر می‌توان آنالیز عملکرد ژن‌ها در رشد و متاستاز تومور، ارزیابی اثر داروها و پروسه‌های درمانی در رشد و متاستاز تومور، مطالعه سودمندی و سمیت دارویی با استفاده از چنین رده‌های سرطانی را نام برد [۱۱].

رده سلولی مشتق از 4T1 که 4T1-RGFP نامیده شد، دارای نشانه فلورسانس سبز می‌باشد که می‌توان آن را به صورت ارتوتوپیک به ناحیه fadpad موش BALB/c nude, SCID و یا BALB/c مطالعه کرد. در این شرایط رده 4T1 به سرعت در محل اولیه رشد نموده است و در ریه، کبد، استخوان و مغز در دوره ۳-۶ هفت‌های متاستاز می‌دهد. در صورت تزریق درون‌رگی، متاستاز در ۱-۲ هفته ایجاد می‌شود. متاستاز سریع و مؤثر به ارگان‌هایی که در سرطان پستان انسانی مورد تهاجم قرار می‌گیرد، مدل حاصل از این رده سلولی را مدل مناسبی برای مطالعه نحوه پیشرفت متاستاز سرطان پستان در انسان می‌نماید [۱۳]. هرچند هنوز امکان استفاده از رده‌های سلولی مراحل انتهایی سرطان مانند 4T1 برای بررسی مراحل ابتدایی و early event وجود ندارد، همچنان دارا بودن نشانه فلورسانس امکان ردیابی سلول‌ها با استفاده از تکنیک ایمونوھیستوشیمی یا دستگاه‌های دقیق برای ردیابی در محل (in vivo imaging) این رده سلولی را امکان‌پذیر می‌نماید.

رده سلولی 4T1-RGFP با استفاده از پایدارکردن وکتور لنتی ویروسی در این رده سلولی با موفقیت ایجاد شد.



شکل ۳: درگیری بافت استخوان توسط سلول‌های سرطانی

تزریق مجدد این رده به موش BALB/c، نتایج قبلی مربوط به قدرت متاستاز این سلول را تأیید نمود اما، دستگاه *invivo imaging* به کاربرده شده حساسیت کافی برای ردیابی سلول‌های سرطانی را نداشت.

بحث و نتیجه‌گیری

متاستاز یکی از بزرگ‌ترین مشکلات درمان سرطان پستان می‌باشد. مدل‌سازی این مرحله از سرطان در حیوان آزمایشگاهی، امکان بررسی مسیرهای سلولی درگیر و همچنین سنجش اثربخشی داروهای جدید را امکان‌پذیر می‌نماید. مدل موشی سرطان پستان که در این پژوهه با موفقیت ساخته و به کاربرده شد، امکان شبیه‌سازی مرحله IV سرطان پستان در موش مشابه سرطان پستان انسانی را فراهم می‌نماید. درواقع، تهیه مدل موشی با این رده سلول، برای مطالعه سرطان پستان در مراحل دیررس و ارزیابی داروهای سرطان و سایر ترکیبات درمانی مفید خواهد بود [۱۴ و ۱۳]. اولین بار توسط Miller و همکارانش در Karmanos Cancer Institute تومور پستانی که خود به خود در موش BALB/c ایجاد شده بود، به دست آمده است [۱۵]. بنابراین در جریان تزریق آن به موش، مشکلات تزریق رده سلولی توموری

References

1. Spellman P, Gray J. A new treasure in the breast cancer gene hunt. *Nat Med* 2011; 17(4): 422-3.
2. Tavazoie SF, Alarcon C, Oskarsson T, Padua D, Wang Q, Bos PD. Endogenous human microRNAs that suppress breast cancer metastasis. *Nature* 2008; 451(7175): 147-52.
3. Negrini M, Calin GA. Breast cancer metastasis: a microRNA story. *Breast Cancer Res* 2008; 10(2): 203.
4. Hamilton EP, Blackwell KL. Safety of bevacizumab in patients with metastatic breast cancer. *Oncology* 2011; 80(5-6): 314-25.
5. Lianidou ES, Markou A. Circulating tumor cells in breast cancer: detection systems, molecular characterization and future challenges. *Clin Chem* 2011; 57(9): 1242-55.
6. Heppner GH, Miller FR, Shekhar PM. Nontransgenic models of breast cancer. *Breast Cancer Res* 2000; 2(5): 331-4.
7. Jonkers J, Derkisen PW. Modeling metastatic breast cancer in mice. *J Mammary Gland Biol Neoplasia* 2007; 12(2-3): 191-203.
8. Xanthopoulos JM, Romano AE, Majumdar SK. Response of Mouse Breast Cancer Cells to Anastrozole, Tamoxifen, and the Combination. *J Biomed Biotechnol* 2005; (1): 10-9.
9. Pulaski BA, Ostrand-Rosenberg S. Mouse 4T1 breast tumor model. *Curr Protoc Immunol* 2001; Chapter 20(20): Unit 202.
10. DuPre SA, Redelman D, Hunter KW Jr. The mouse mammary carcinoma 4T1: characterization of the cellular landscape of primary tumors and metastatic tumor foci. *Int J Exp Pathol* 2007; 88(5): 351-60.
11. Baliga MS, Meleth S, Katiyar SK. Growth inhibitory and antimetastatic effect of green tea polyphenols on metastasis-specific mouse mammary carcinoma 4T1 cells invitro and invivo systems. *Clin Cancer Res* 2005; 11(5): 1918-27.
12. Salmon P, Trono D. Production and titration of lentiviral vectors. *Curr Protoc Neurosci* 2006; Chapter 4(4): Unit 4 21.
13. Rosen LS, Ashurst HL, Chap L. Targeting signal transduction pathways in metastatic breast cancer: a comprehensive review. *Oncologist* 2010; 15(3): 216-35.
14. Weigelt B, Baehner FL, Reis-Filho JS. The contribution of gene expression profiling to breast cancer classification, prognostication and prediction: a retrospective of the last decade. *J Pathol* 2010; 220(2): 263-80.
15. Aslakson CJ, Miller FR. Selective events in the metastatic process defined by analysis of the sequential dissemination of subpopulations of a mouse mammary tumor. *Cancer Res* 1992; 52(6): 1399-405.
16. Gumireddy K, Sun F, Klein-Szanto AJ, Gibbins JM, Gimotty PA, Saunders AJ. Invivo selection for metastasis promoting genes in the mouse. *Proc Natl Acad Sci U S A* 2007; 104(16): 7.